

Tafeln

Autor(en): **[s.n.]**

Objektyp: **Appendix**

Zeitschrift: **Eclogae Geologicae Helvetiae**

Band (Jahr): **63 (1970)**

Heft 2

PDF erstellt am: **25.09.2024**

Nutzungsbedingungen

Die ETH-Bibliothek ist Anbieterin der digitalisierten Zeitschriften. Sie besitzt keine Urheberrechte an den Inhalten der Zeitschriften. Die Rechte liegen in der Regel bei den Herausgebern.

Die auf der Plattform e-periodica veröffentlichten Dokumente stehen für nicht-kommerzielle Zwecke in Lehre und Forschung sowie für die private Nutzung frei zur Verfügung. Einzelne Dateien oder Ausdrucke aus diesem Angebot können zusammen mit diesen Nutzungsbedingungen und den korrekten Herkunftsbezeichnungen weitergegeben werden.

Das Veröffentlichen von Bildern in Print- und Online-Publikationen ist nur mit vorheriger Genehmigung der Rechteinhaber erlaubt. Die systematische Speicherung von Teilen des elektronischen Angebots auf anderen Servern bedarf ebenfalls des schriftlichen Einverständnisses der Rechteinhaber.

Haftungsausschluss

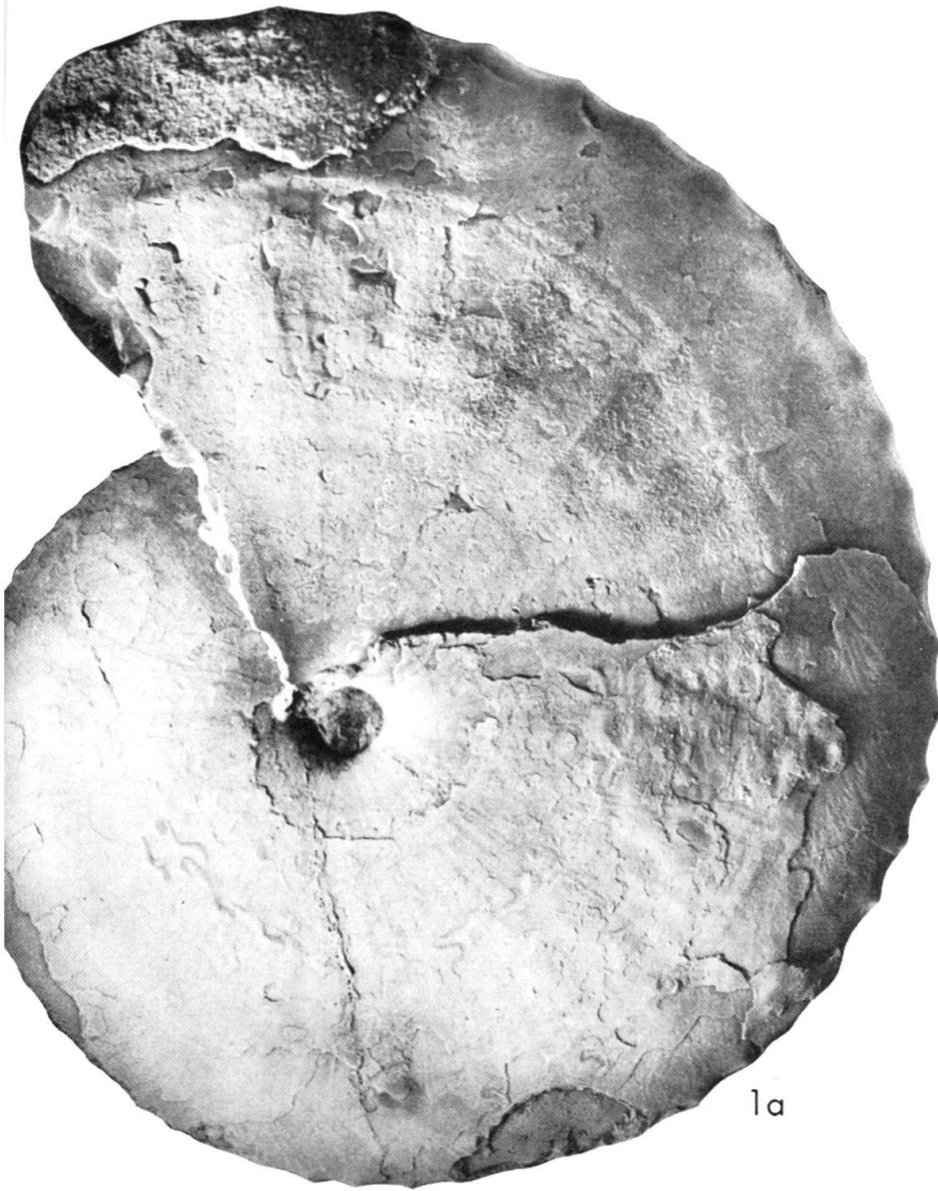
Alle Angaben erfolgen ohne Gewähr für Vollständigkeit oder Richtigkeit. Es wird keine Haftung übernommen für Schäden durch die Verwendung von Informationen aus diesem Online-Angebot oder durch das Fehlen von Informationen. Dies gilt auch für Inhalte Dritter, die über dieses Angebot zugänglich sind.

Tafel I

Fig. 1 a, b *Parengonoceras discoides* n. sp., Holotypus, J 20665, La Aguada, nat. Gr., p. 1032.

Fig. 2 a–c *Parengonoceras discoides* n. sp., Paratypus 1, J 20664, La Aguada; 2 a, b innerer Umgang nat. Gr.; 2 c äusserer Umgang auf $\frac{1}{2}$ verkleinert, p. 1035.

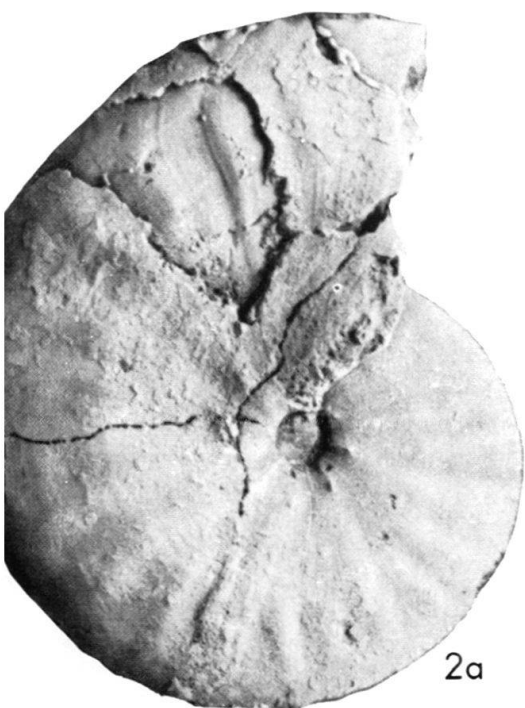
Alle hier abgebildeten Exemplare der Gattungen *Parengonoceras*, *Knemiceras* und *Neophlycticeras* stammen aus der obersten Lage des La Puya-Member.



1a



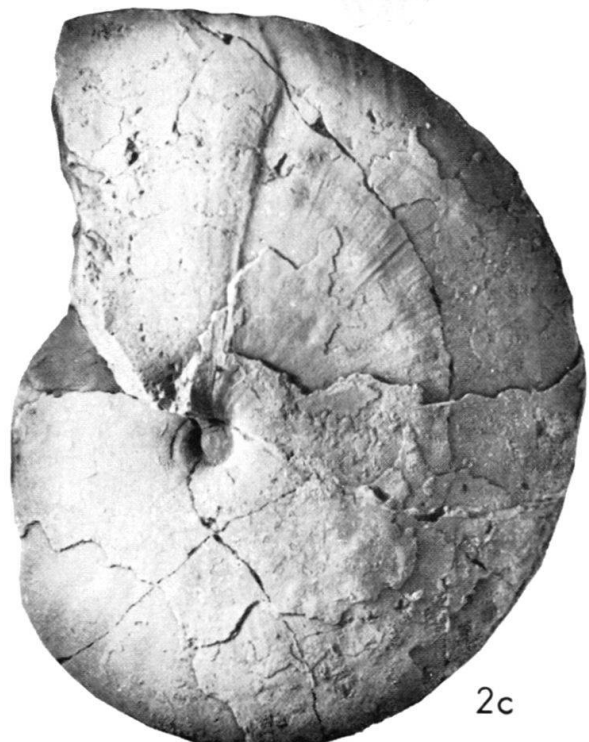
1b



2a



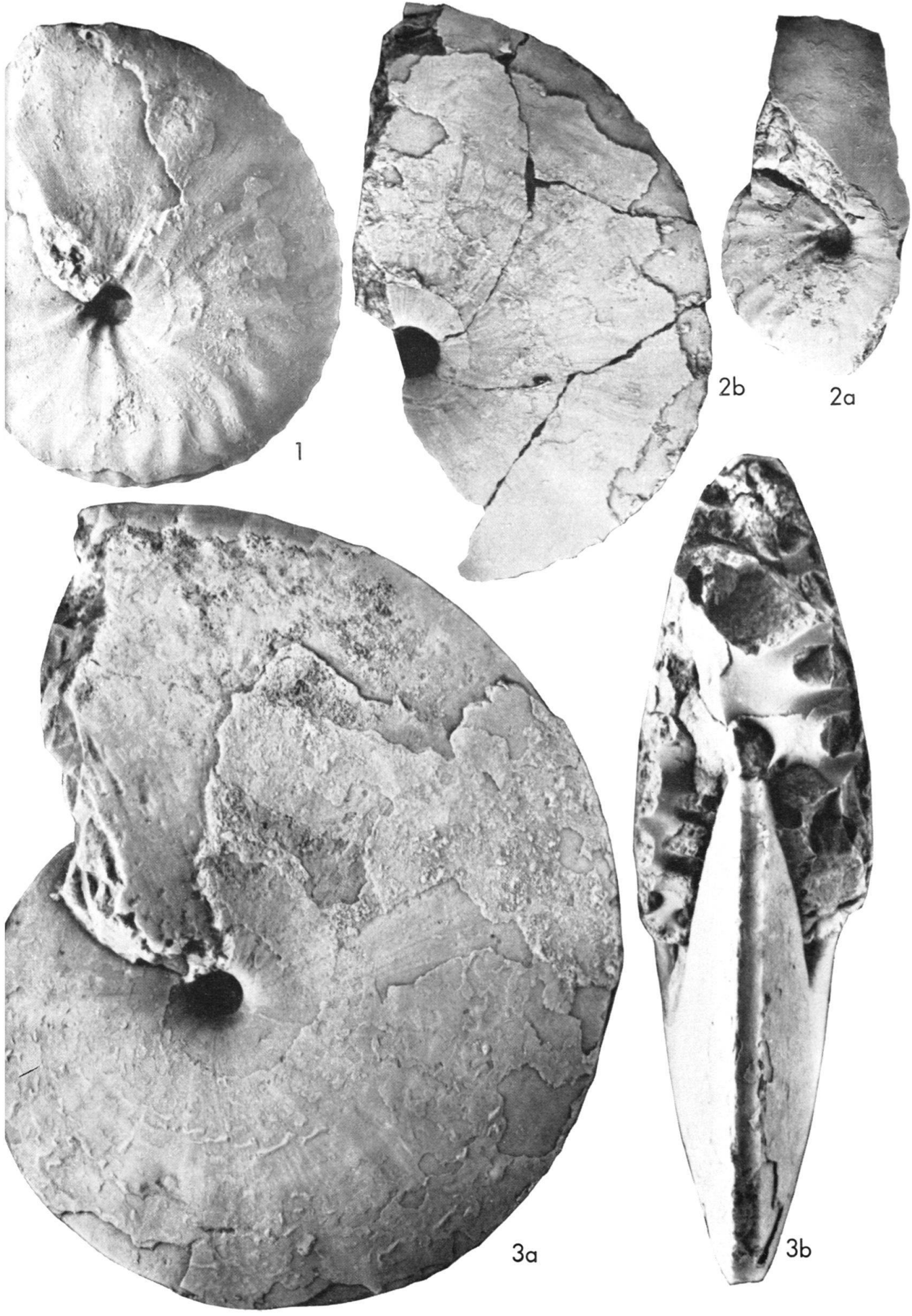
2b



2c

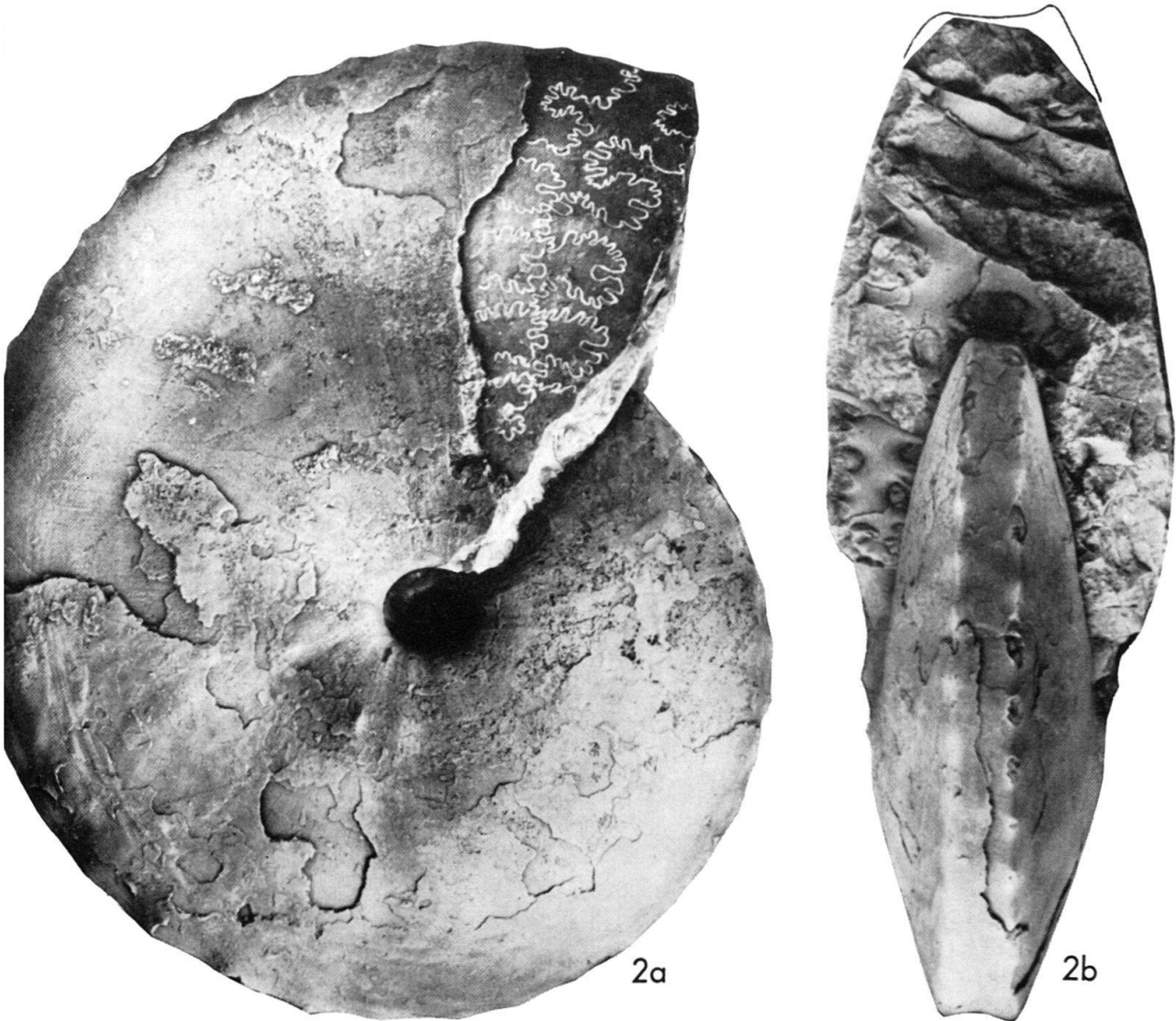
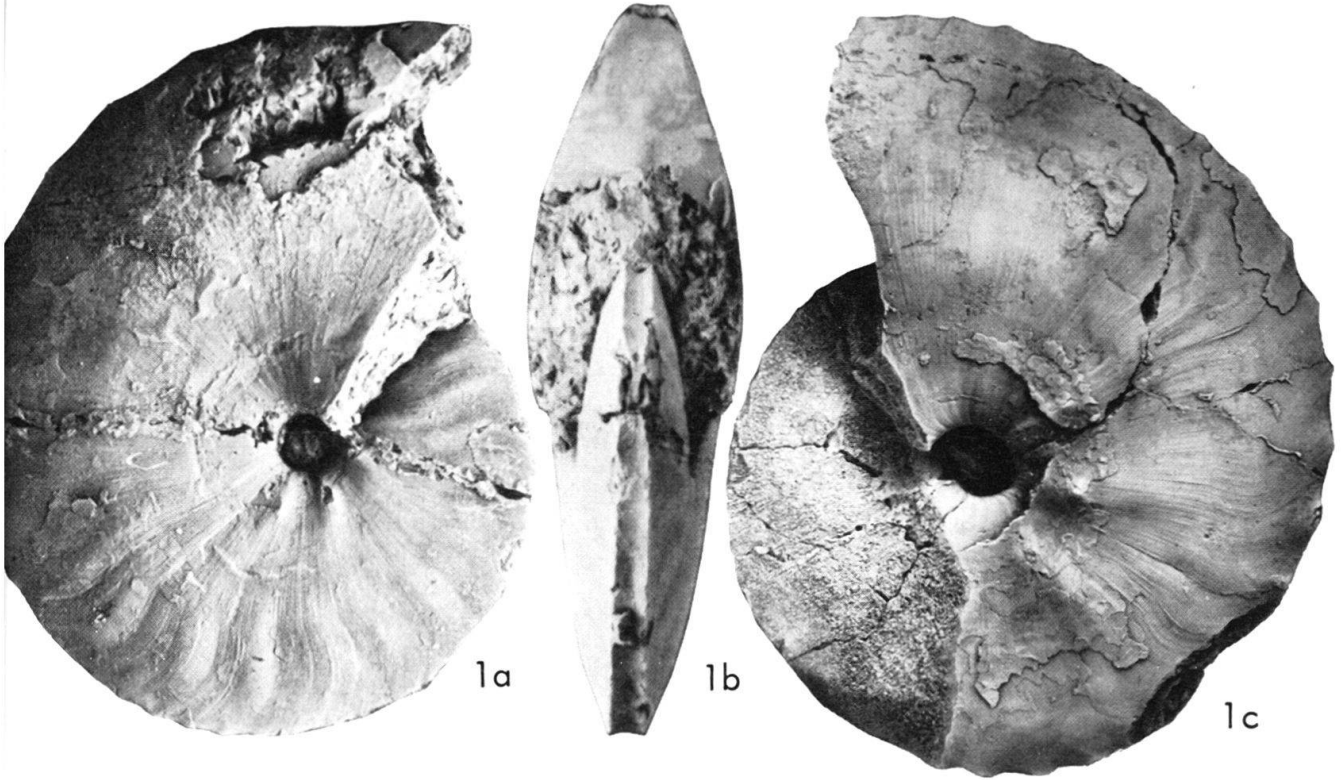
Tafel II

- Fig. 1 *Parengoceras discoides* n. sp., Paratypus 4, J 20663, Häuser Vano, nat. Gr., p. 1035.
- Fig. 2a, b *Parengoceras discoides* n. sp., Paratypus 3, J 20691, Häuser Vano; 2a innerer Umgang; 2b äusserer Umgang, beides nat. Gr., p. 1035.
- Fig. 3a, b *Parengoceras discoides* n. sp., Paratypus 5, J 20689, La Aguada, nat. Gr., p. 1035.



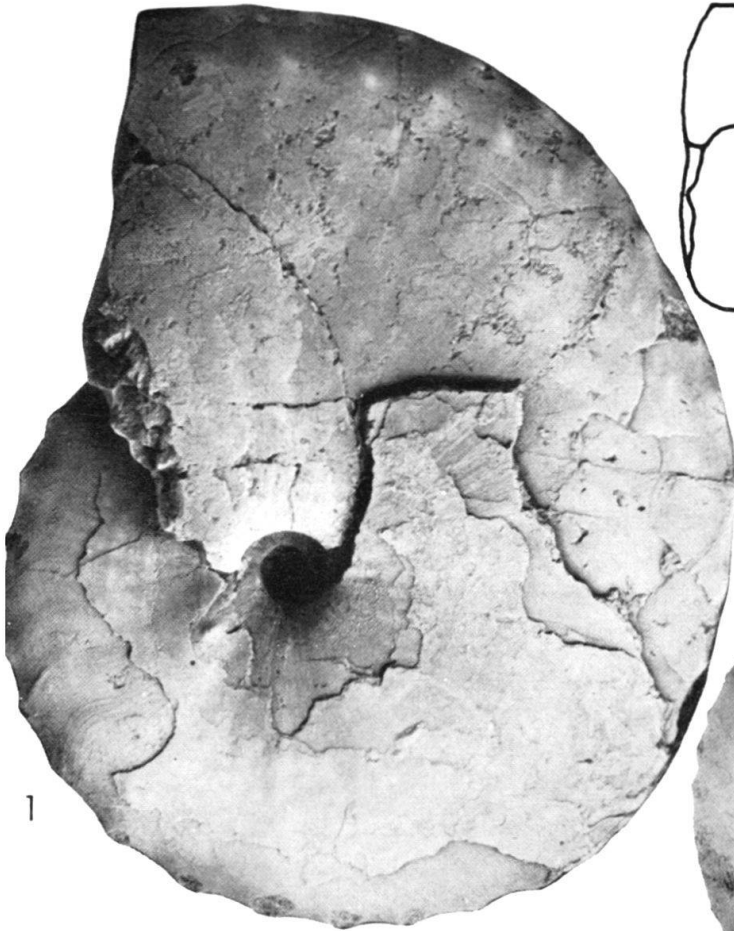
Tafel III

- Fig. 1 a–c *Parengonoceras elegans* n. sp., Paratypus 1, J 20675, Cerro Gordo; 1 a, b innerer Umgang nat. Gr.; 1 c äusserer Umgang auf $\frac{1}{2}$ verkleinert, p. 1036,
- Fig. 2 a, b *Parengonoceras elegans* n. sp., Holotypus, J 20674, La Aguada, auf $\frac{3}{4}$ verkleinert, p. 1036.

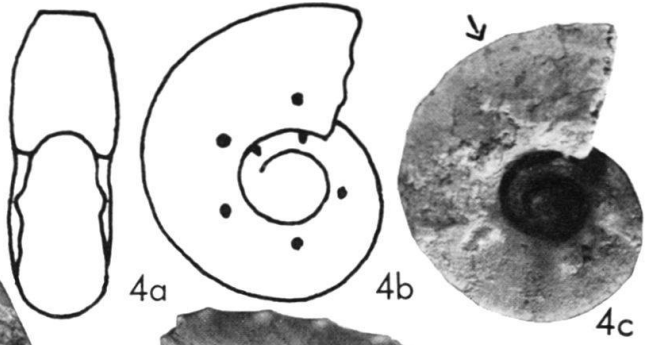


Tafel IV

- Fig. 1 *Parengonoceras elegans* n. sp., Paratypus 2, J 20688, Häuser Vano, sehr grosses Exemplar mit Lateralknoten an der Externseite, auf $1/2$ verkleinert, p. 1038.
- Fig. 2a, b *Parengonoceras discoides* n. sp., Paratypus 2, J 20702, La Leona, besonders breites Exemplar, auf $3/4$ verkleinert, p. 1035.
- Fig. 3a, b *Parengonoceras elegans*, n. sp., Paratypus 3, J 20709, Cerro Gordo, weitnablige Form, auf $3/4$ verkleinert, p. 1038.
- Fig. 4a–c *Parengonoceras duplicatum* n. sp., Paratypus 9, J 20734, Cerro Gordo, Frühstadium. Der Pfeil deutet auf den Übergang von der gerundeten zur abgeplatteten Externseite, $6\times$, p. 1039.



1



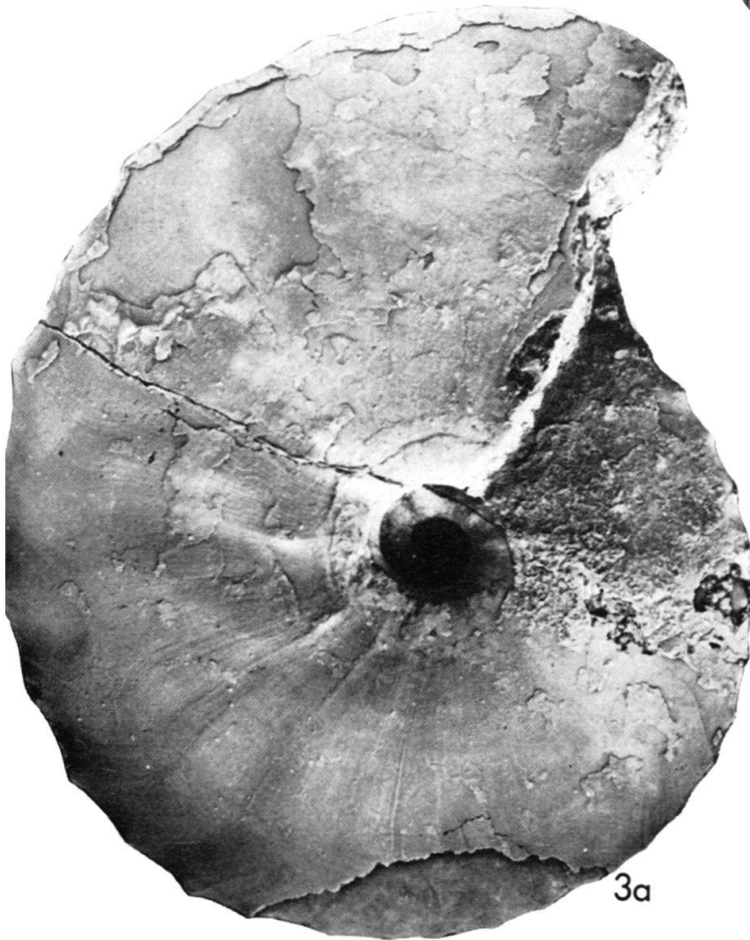
4a

4b

4c



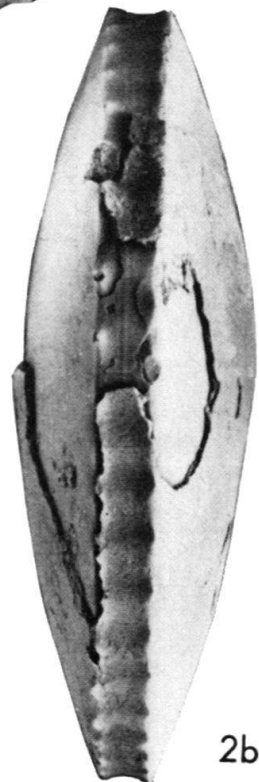
2a



3a



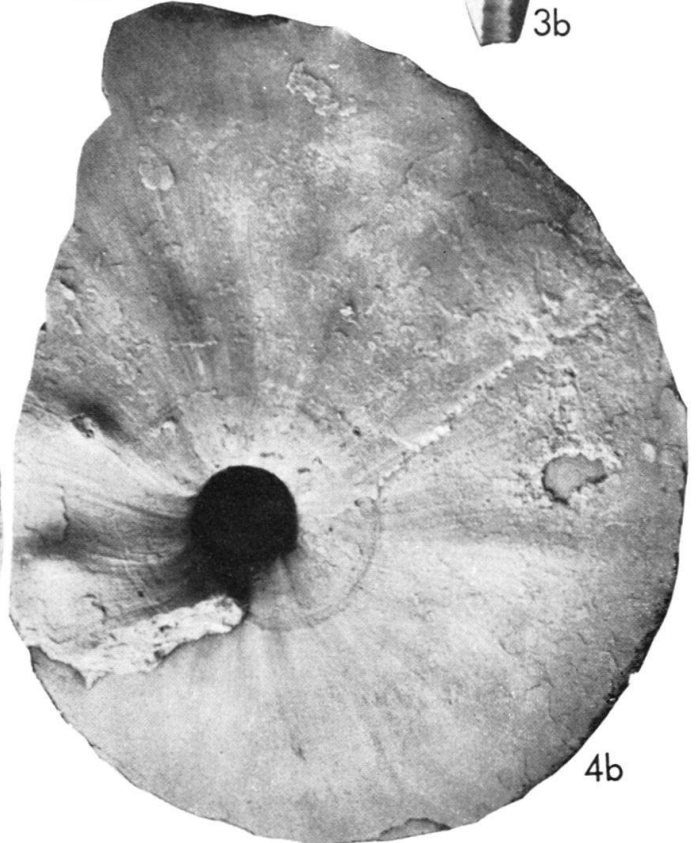
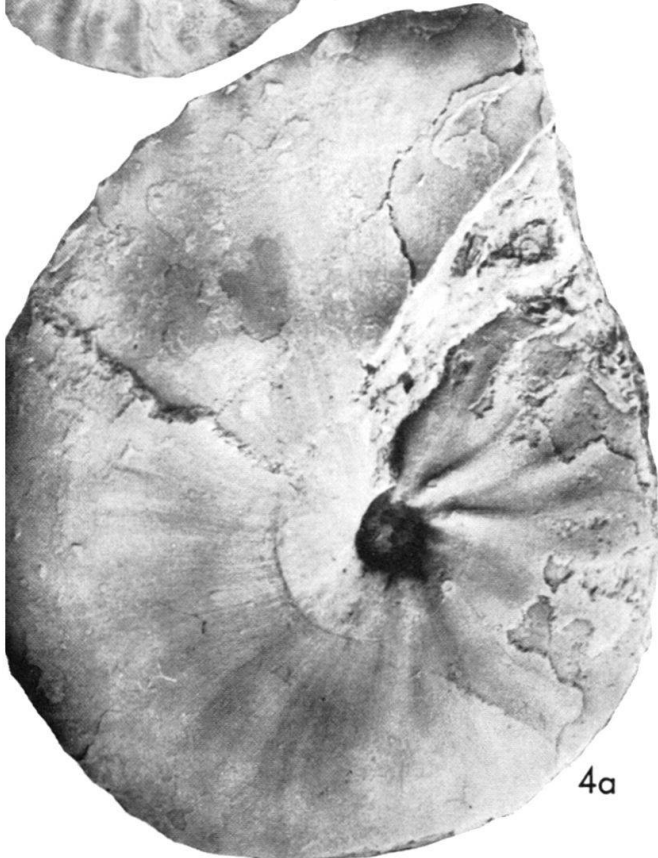
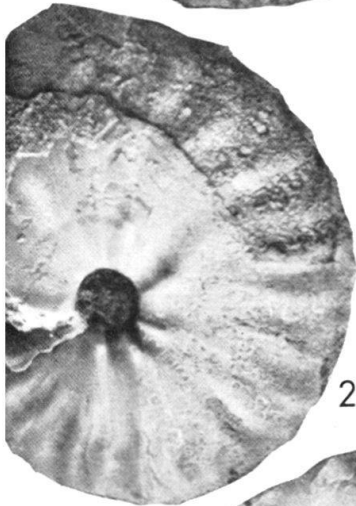
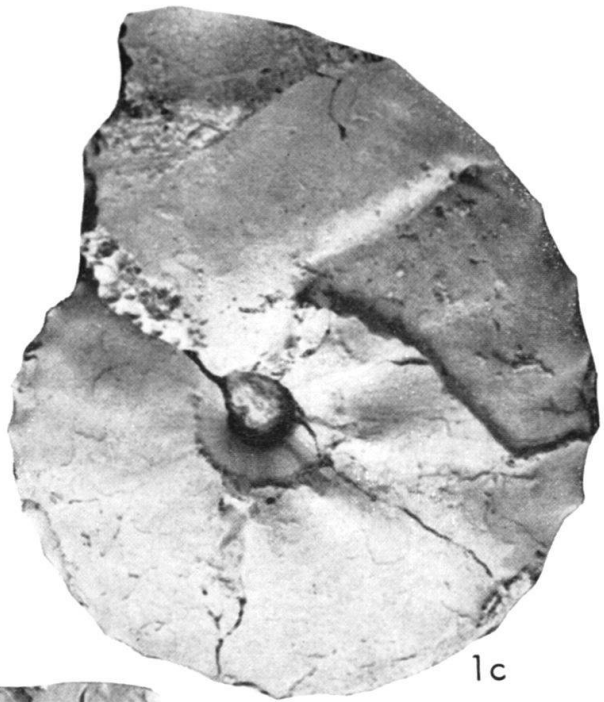
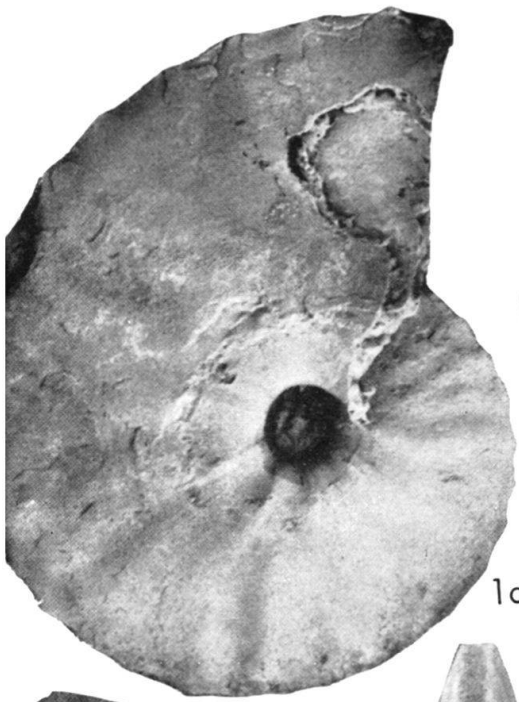
3b



2b

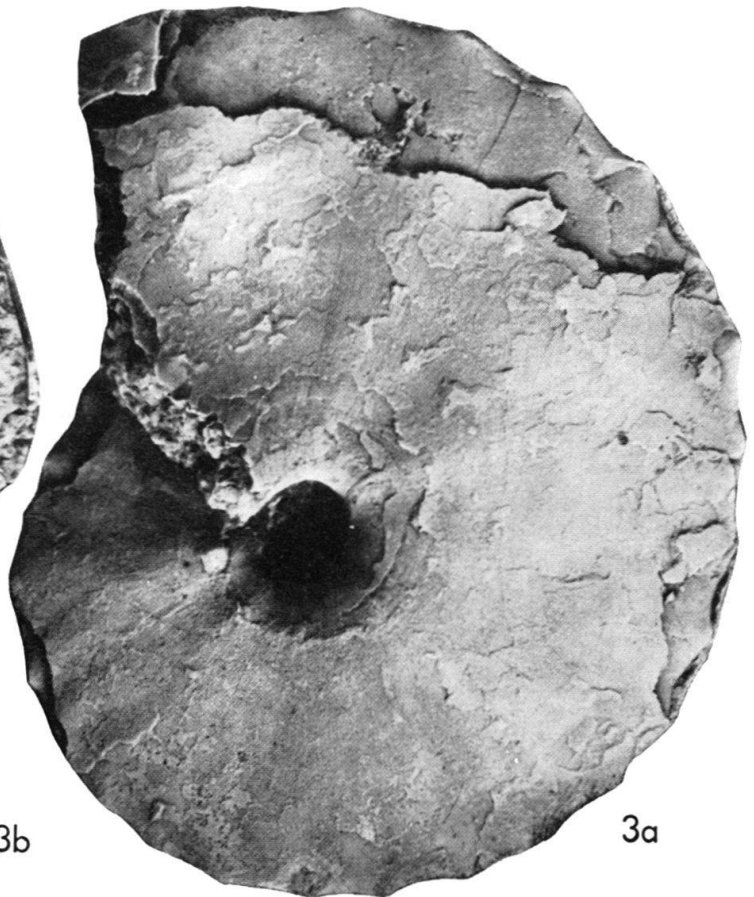
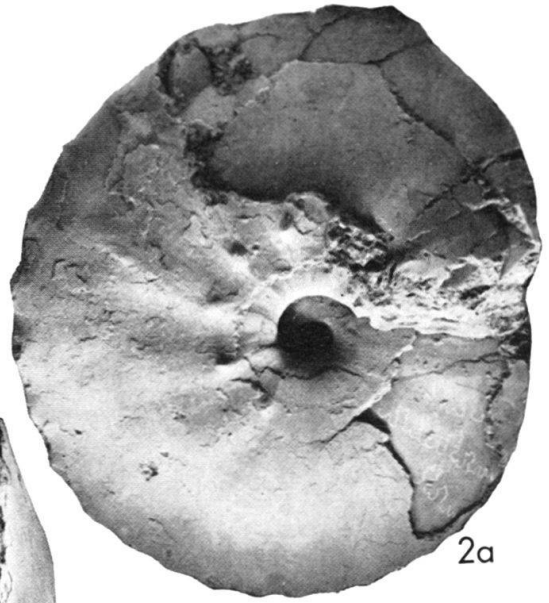
Tafel V

- Fig. 1 a–c *Parengonoceras duplicatum* n. sp., Paratypus 1, J 20682, La Aguada; 1 a, b innerer Umgang nat. Gr.; 1 c äusserer Umgang auf $\frac{1}{2}$ verkleinert, p. 1039.
- Fig. 2 a, b *Parengonoceras duplicatum* n. sp., Paratypus 6, J 20692, Häuser Vano, innerer Umgang, nat. Gr., p. 1041.
- Fig. 3 a, b *Parengonoceras duplicatum* n. sp., Paratypus 7, J 20741, Häuser Vano, innerer Umgang, nat. Gr., p. 1041.
- Fig. 4 a, b *Parengonoceras duplicatum* n. sp., Paratypus 4, J 20706, La Aguada; 4 a Lateral-knoten und Rippen an innerem Umgang; 4 b die Gegenseite mit dem Beginn der zweiten Folge von Lateralknoten, nat. Gr., p. 1041.



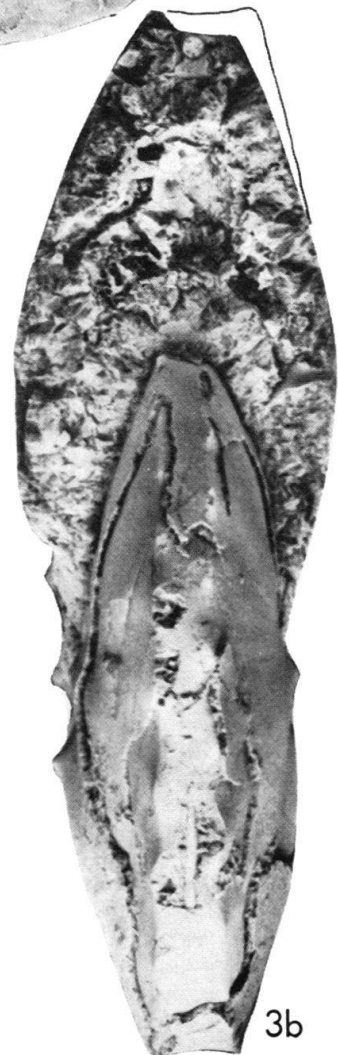
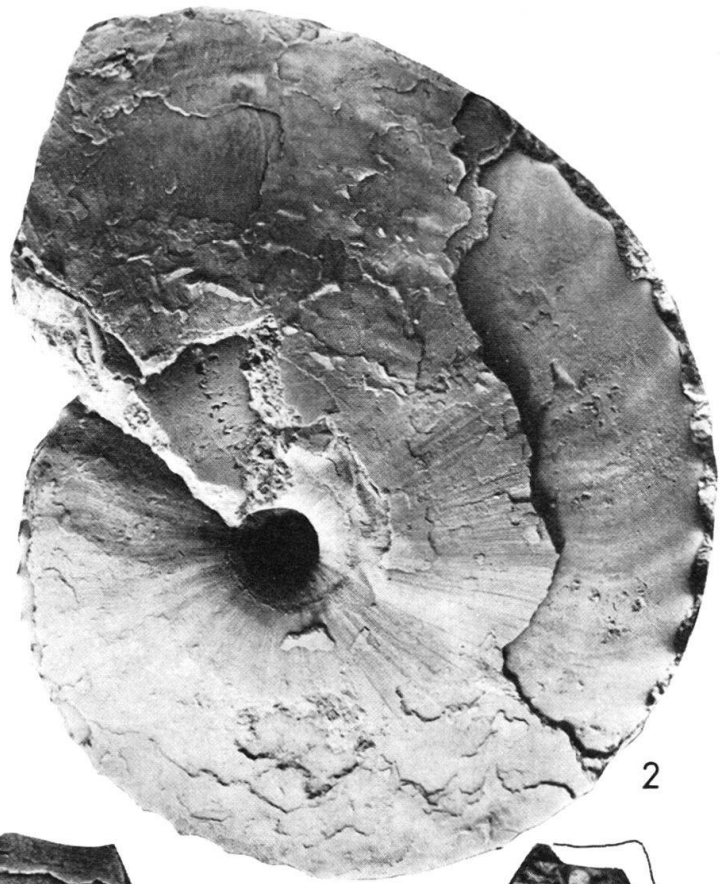
Tafel VI

- Fig. 1 a–c *Parengonoceras duplicatum* n. sp., Paratypus 5, J 20694, Cerro Gordo; 1 a–b äusserer Umgang mit Beginn der zweiten Folge von Lateralknoten; 1 c innerer Umgang mit den hier besonders kleinen Lateralknoten, alle nat. Gr., p. 1041.
- Fig. 2 a, b *Parengonoceras duplicatum* n. sp., Paratypus 3, J 20704, La Aguada, Beginn der äusseren Knotenfolge, auf $\frac{1}{2}$ verkleinert, p. 1041.
- Fig. 3 a, b *Parengonoceras barbacoense* n. sp., Holotypus, J 20685, La Aguada, innerer Umgang (der zugehörige äussere Umgang Taf. 7, Fig. 1), nat. Gr., p. 1041.



Tafel VII

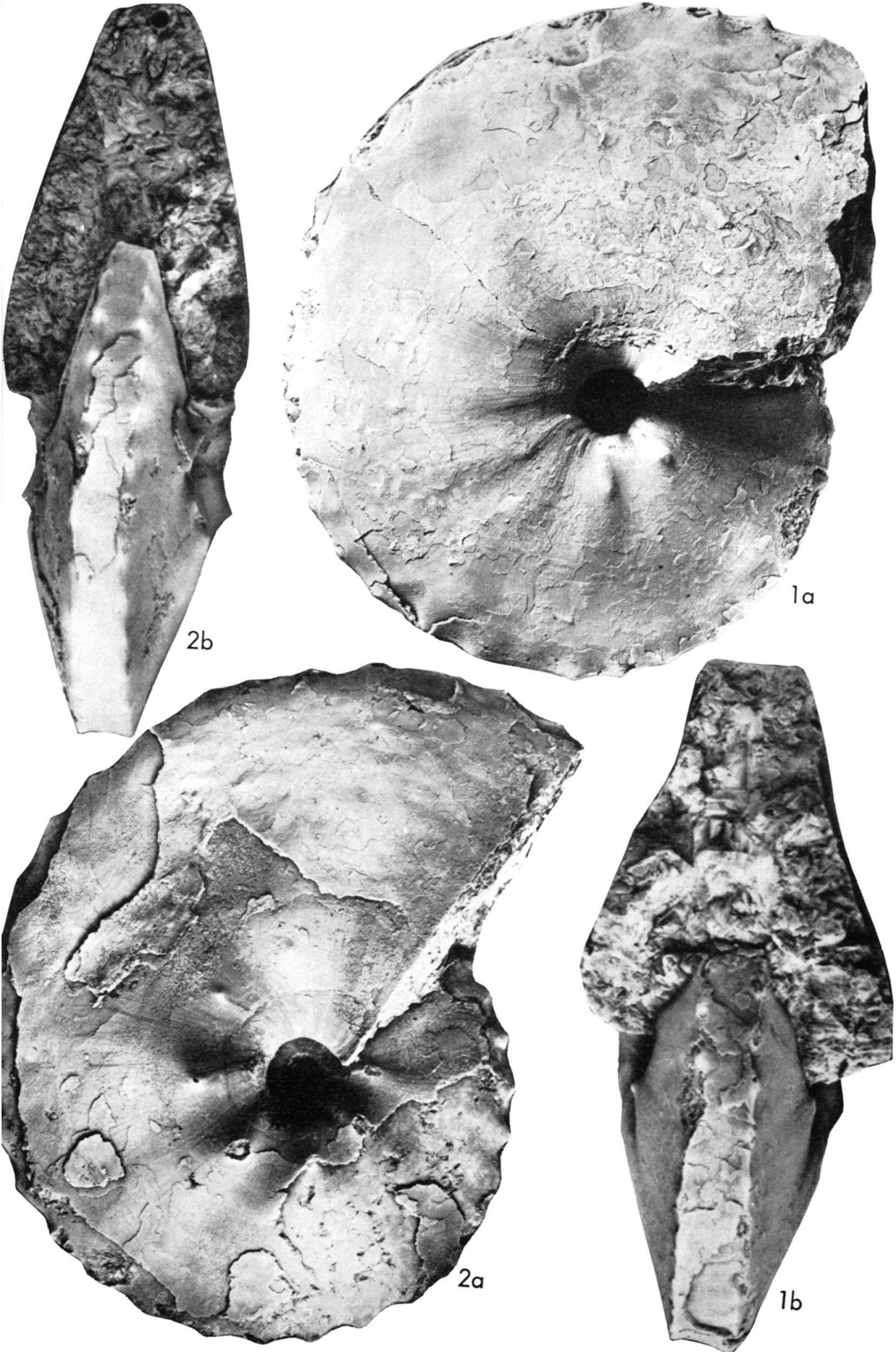
- Fig. 1 *Parengonoceras barbacoense* n. sp., Holotypus, J 20685, La Aguada, äusserer Umgang (der zugehörige innere Umgang Taf. 6, Fig. 3a, b), auf $\frac{1}{2}$ verkleinert, p. 1041.
- Fig. 2 *Parengonoceras barbacoense* n. sp., Paratypus, J 20666, La Aguada auf $\frac{3}{4}$ verkleinert, p. 1041.
- Fig. 3a, b *Parengonoceras duplicatum* n. sp., Holotypus, J 20661, La Aguada, auf $\frac{3}{4}$ verkleinert, p. 1038.



Tafel VIII

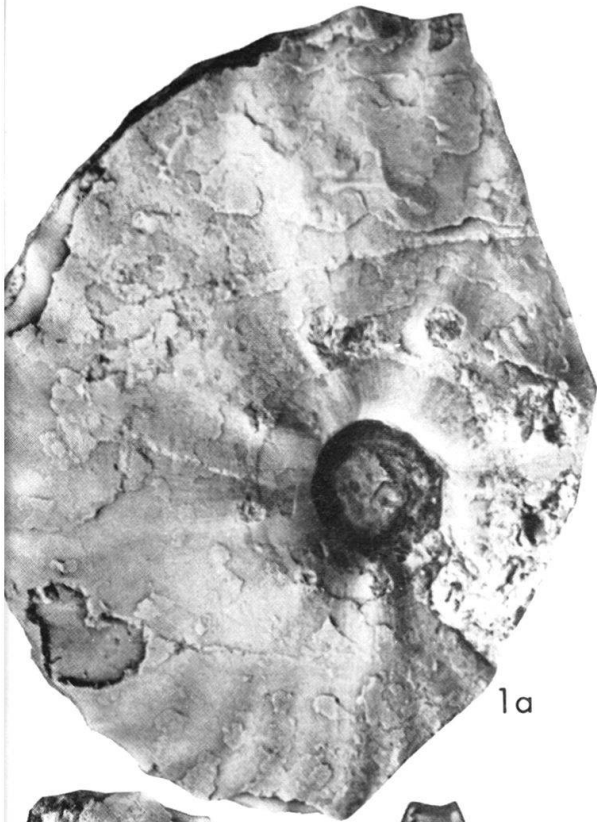
Fig. 1 a, b *Parengonoceras* sp., J 20687, La Aguada, nat. Gr., p. 1045.

Fig. 2 a, b *Parengonoceras duplicatum* n. sp., Paratypus 2, J 20676, Häuser Vano, auf $\frac{3}{4}$ verkleinert, p. 1040.



Tafel IX

- Fig. 1 a, b *Knemiceras* aff. *compressum* HYATT, J 20672, La Aguada, breitere Form, nat. Gr.,
p. 1046.
- Fig. 2 a, b *Knemiceras* aff. *compressum* HYATT, J 20673, La Aguada, Jugendstadium, nat. Gr.
p. 1046.
- Fig. 3 a, b *Knemiceras* aff. *compressum* HYATT, J 20732, La Aguada, schmalere Form, nat. Gr.,
p. 1046.
- Fig. 4 *Knemiceras* aff. *compressum* HYATT, J 20662, Cerro Gordo, nat. Gr., p. 1046.



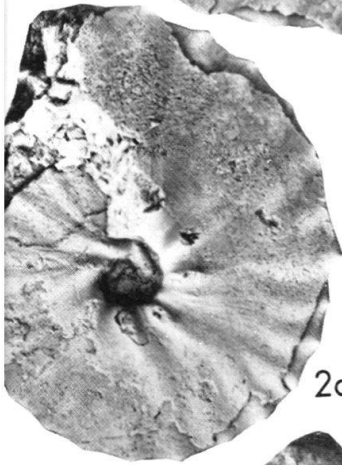
1a



1b



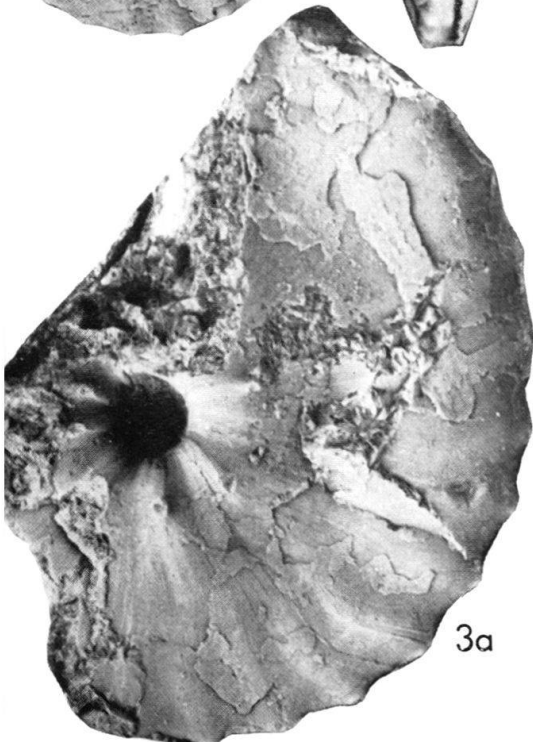
3b



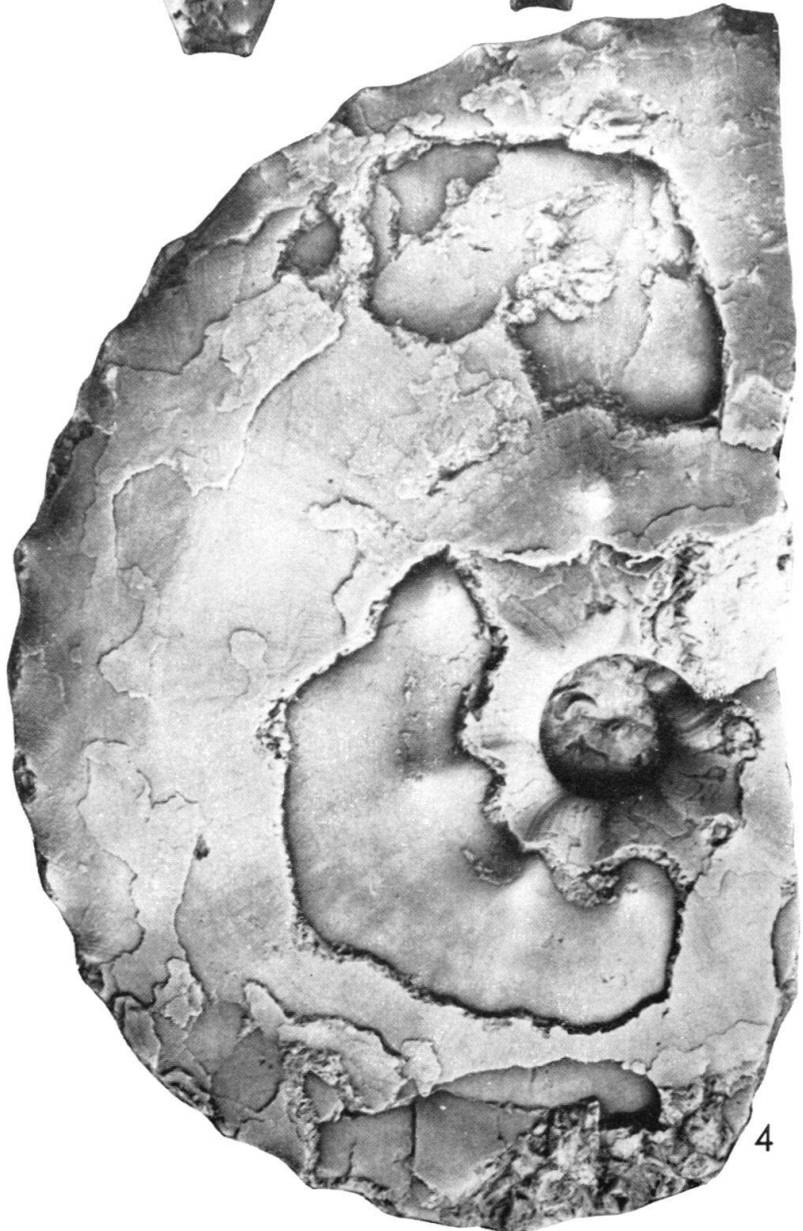
2a



2b



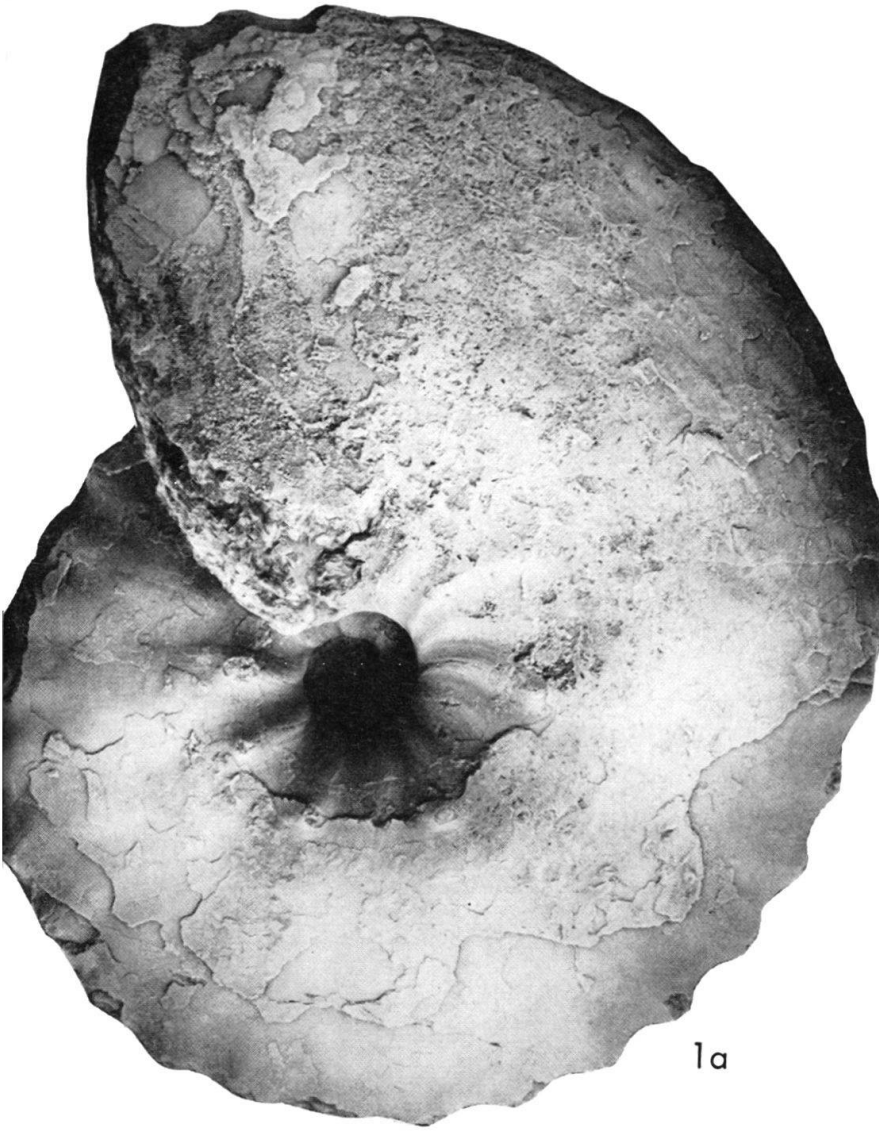
3a



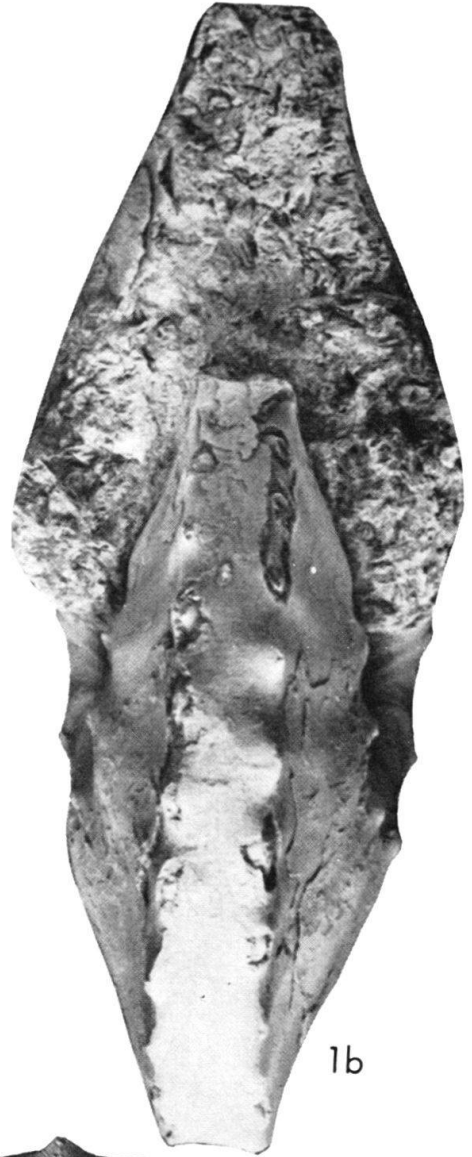
4

Tafel X

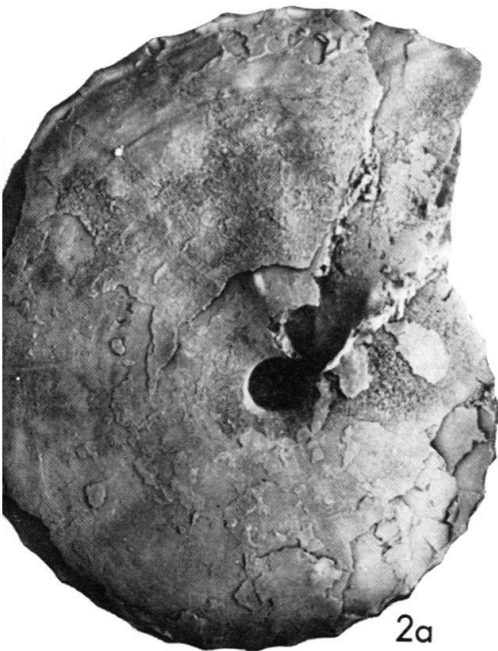
- Fig. 1 a, b *Knemiceras andinum* n. sp., Holotypus, J 20660, Häuser Vano, auf $\frac{3}{4}$ verkleinert, p. 1047.
- Fig. 2 a, b *Parengonoceras* aff. *barbacoense* n. sp., J 20683, La Aguada, auf $\frac{1}{2}$ verkleinert, p. 1044.
- Fig. 3 *Knemiceras andinum* n. sp., Paratypus, J 20670, La Aguada, auf $\frac{3}{4}$ verkleinert, p. 1048.



1a



1b



2a



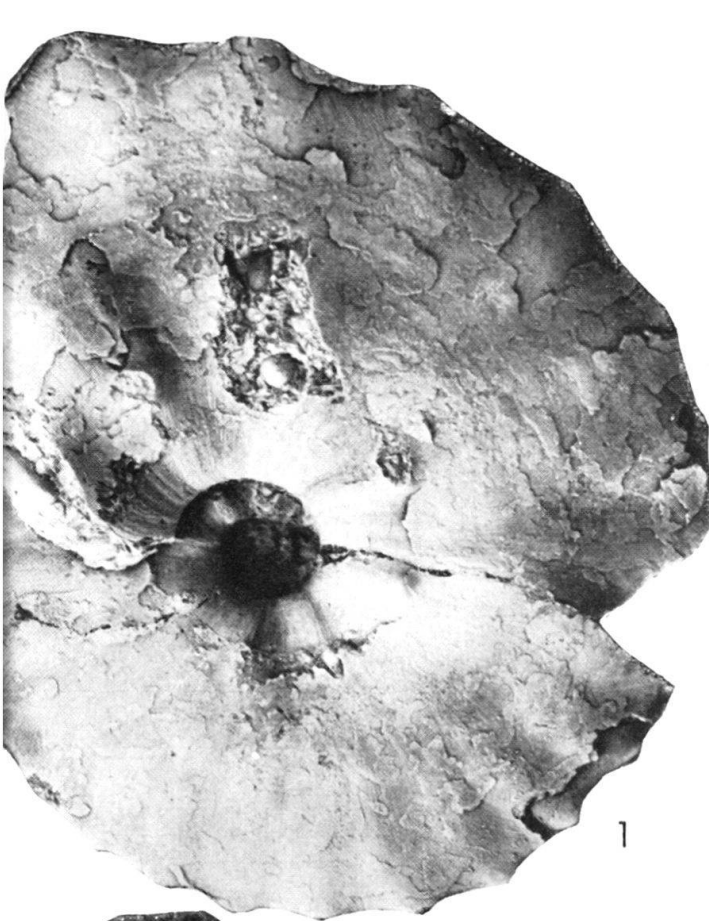
2b



3

Tafel XI

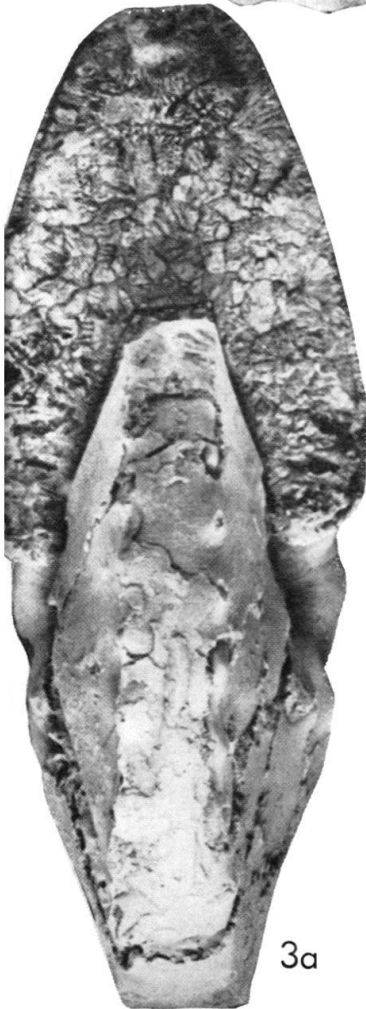
- Fig. 1 *Knemiceras* sp., aff. *compressum* HYATT, J 20669, Häuser Vano, nat. Gr., p. 1047.
- Fig. 2 *Knemiceras laraense* n. sp., Paratypus, J 20703, La Aguada, nat. Gr., p. 1051.
- Fig. 3a, b *Knemiceras* aff. *gabbi* HYATT, J 20701, Häuser Vano, auf $\frac{3}{4}$ verkleinert, p. 1048.



1



2



3a



3b

Tafel XII

- Fig. 1 *Knemiceras laraense* n. sp., Holotypus, J 20667, La Aguada, auf $\frac{3}{4}$ verkleinert, p. 1049.
- Fig. 2 *Knemiceras* sp., aff. *compressum* HYATT, J 20669, Häuser Vano, nat. Gr., p. 1047.
- Fig. 3a, b *Neophlycticeras madagascariense* (COLLIGNON), J 20737, La Aguada, nat. Gr., p. 1053.
- Fig. 4a–d *Neophlycticeras madagascariense* (COLLIGNON), J 20735, La Aguada; Fig. 3a–c nat. Gr.; Fig. 4d die 3 letzten Suturlinien, 2× vergrössert, p. 1053.
- Fig. 5a, b *Neophlycticeras madagascariense* (COLLIGNON), J 20736, La Aguada, nat. Gr., p. 1053.
- Fig. 6a–c *Neophlycticeras itierianum* (D'ORBIGNY), L 12783, Musée Géologique Lausanne, Perte-du-Rhône; Fig. 6a, b, nat. Gr.; Fig. 6c fünft- und viertletzte Suturlinien, 2× vergr., p. 1051.
- Fig. 7a, b *Neophlycticeras* cf. *brottianum* (D'ORBIGNY), J 20738, La Aguada; Fig. 7b Windungsquerschnitt am Ende des Phragmokons, nat. Gr., p. 1054.

Das Ende der Phragmokone wurde durch einen Pfeil angedeutet.

